

# 셀룰라 오토마타를 이용한 ElGamal 알고리즘의 구현

°이준석\*, 조현호\*, 이경현\*\*, 조경연\*\*

\*부경대학교 전자계산학과

\*\*부경대학교 컴퓨터정보통신공학부

e-mail:jsmagic@unicorn.pknu.ac.kr

## Implementation of ElGamal algorithm using cellular automata

°Jun-Seok Lee\*, Hyun-Ho Cho\*, Kyung-Hyune Rhee\*\*, Gyeong-Yeon Cho\*\*

\*Dept of Computer Science, Pukyong National University

\*\*Division of Electronic, Computer & Telecommunication Engineering,  
Pukyong National University

### 요약

본 논문에서는 셀룰라 오토마타(Cellular Automata : CA)를 이용한 다항식 모듈라 연산 알고리즘을 제안한다. 또한 이를 이용하여 공개키 암호 알고리즘인 ElGamal 알고리즘을 구현한다. 기존의 모듈라 연산 알고리즘은 대부분 선형 귀환 시프트 레지스터(Linear Feedback Shift Register : LFSR)를 이용하여 구현하였다. 그러나 LFSR을 이용한 구조는 기저가 자주 변경되는 연산에 대하여 구현하기에 곤란한 단점을 가지고 있다. 본 논문에서 제안된 알고리즘은 CA의 병렬성과 높은 적응성을 이용함으로써 기저가 자주 변경되는 연산 알고리즘에 쉽게 적용할 수 있는 장점이 있다.

### 1. 서론

셀룰라 오토마타(Cellular Automata : CA)는 Von Neumann에 의해 최초로 제안되었고, Wolfram에 의해서 수학적 분석이 이루어졌으며 처음으로 암호학에 도입되었다[1]. 이후 Das 등에 의해서 매트릭스 대수학으로 분석이 이루어졌으며[2,3], Chaudhuri, Nandi 등이 많은 응용분야에 CA를 폭넓게 활용하였다[4]. 그리고 Muzio, Kavin 등에 의해서 LFSR에 대응하는 CA에 대한 연구가 이루어졌으며, 최소비용으로 최대 길이를 갖는 CA를 찾는 연구가 수행되었다[5,6,7]. 최근에는 Imai 등에 의해서 고속 암호 알고리즘 구현에 CA가 이용되었다[8,9].

본 논문에서는 LFSR에 기반한 연산 구조를 APCA(Advanced Programmable CA)를 이용하여 모듈라 연산을 수행할 수 있음을 보이고, 이를 이용하여 ElGamal 암호 알고리즘을 구현한다. 2장에서 CA의 기본이론과 ElGamal 암호 알고리즘을 소개하고[10], 3장에서 APCA를 이용한 모듈라 연산을 수행하기 위한 연산구조를 제안한다. 마지막으로 4장에서 결론 및 향후 연구과제에 대하여 논한다.

### 2. CA와 ElGamal 암호 알고리즘

#### 2.1 셀룰라 오토마타(Cellular Automata : CA)

CA는 규칙적으로 상호 연결된 많은 셀들로 구성

된 유한 상태 머신(finite state machine : FSM)이다. CA의 각 셀들은 상호 연결된 이웃의 현재 상태와 특별한 법칙에 따라 이산 시간에 동시에 새로운 상태로 갱신된다. CA를 구성하는 중요한 요소는 다음 3가지로 구분할 수 있다.

(1) 상태(state) : 셀의 값

(2) 법칙(rule) : 셀의 갱신 방정식

(3) 이웃(neighborhood) : 법칙에 참여하는 셀

상태(state)는 일반적으로  $GF(2)$ 상의 원소를 가지는 2-상태가 많이 응용되고 있으며, 고속 연산을 위해  $GF(q)$ ,  $GF(2^n)$  CA를 이용하기도 한다.

[표 1] 2-상태 3-이웃 1-차원 CA의 셀 법칙

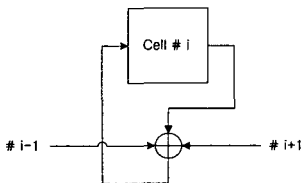
111	110	101	100	011	010	001	000
$2^7$	$2^6$	$2^5$	$2^4$	$2^3$	$2^2$	$2^1$	$2^0$
0	1	0	1	1	0	1	0
1	0	0	1	0	1	1	0

[표 1]에서 가장 많은 용용이 이루어지고 있는 2-상태 3-이웃 1-차원 CA에 대하여 나타내었다. 표에서 첫 번째 행은 3-이웃으로 가능한 셀의 상태를 보여준다. 두 번째 행은 첫 번째 행의 상태 계수를 의미한다. 세 번째와 네 번째 행은 법칙90과 법칙150

을 나타낸다(90과 150은 세 번째 행과 네 번째 행의 십진 값을 말한다). 따라서, 법칙90은 셀의 개신이 현재 상태의 원쪽 이웃과 오른쪽 이웃의 상태 값을 이용하여 Xor 연산함으로써 얻을 수 있고, 법칙150은 원쪽, 오른쪽 그리고 자신의 현재 상태 값을 Xor 연산한 결과이다. 이를 식으로 나타내면 다음과 같이 표현할 수 있다.

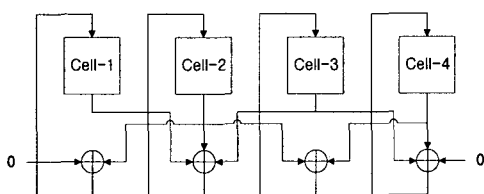
$$\begin{aligned}s_i^{t+1} &= s_{i-1}^t \oplus s_{i+1}^t \\s_i^{t+1} &= s_{i-1}^t \oplus s_i^t \oplus s_{i+1}^t\end{aligned}$$

여기서,  $s_i^t$ 는 시간  $t$ 에서  $i$ 번째 셀의 상태를 나타내고,  $\oplus$ 는 Xor 연산을 의미한다. 아래 (그림 1)은 3-이웃 CA의 셀 구조를 보여준다.



(그림 1) 3-이웃 CA의 셀 구조

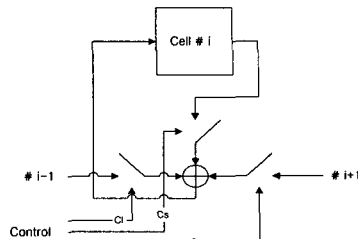
CA는 다음과 같이 여러 가지 방법으로 구분할 수 있다. 셀의 개신에 적용된 법칙에 따라 Linear CA, Non-Linear CA 또는 Additive CA로 구분한다. CA에 적용된 법칙의 개수에 따라 Uniform CA, Hybrid CA로 구분할 수 있고, 셀이 배열되어 있는 형태로 1-차원, 2-차원, 3 차원 CA로 구분할 수 있다. 그리고, 첫 번째 셀/마지막 셀은 원쪽이웃/오른쪽 이웃이 존재하지 않는다. 이를 경계조건으로 정의한다. 이 정의에 따라 NBCA(Null Boundary CA), PBCA(Periodic Boundary CA), IBCA(Intermediate Boundary CA)로 구분할 수 있다.



(그림 2) 1-D 3-이웃 NBCA의 구조

(그림 2)는 1-차원 3-이웃 NBCA의 구조를 보여준다. 여기에 사용된 법칙은  $<90, 150, 90, 150>$ 이다.

법칙의 적용을 보다 효율적으로 하기 위해 PCA(Programmable CA) 구조가 소개되었다. 이는 Xor 게이트의 입력을 제어함으로써 개신 시 적용되는 법칙을 조절할 수 있도록 구성한 것이다. (그림 3)이 3-이웃 PCA의 셀 구조를 보여준다.



(그림 3) 3-이웃 PCA의 셀 구조

여기서, 제어선  $Cl$ ,  $Cs$ ,  $Cr$ 은 각각 셀의 원쪽, 자신 그리고 오른쪽 이웃으로부터의 입력을 제어하는 값이다. 즉, 제어 값이 '1'일 경우 입력을 받아들이는 것이다. 따라서 이산 시간에 따라 같은 셀에 다른 법칙이 적용될 수 있다. 예를 들어, Rule90과 150은 자신의 셀에 대한 제어선  $Cs$ 의 값에 따라서 같은 셀 구조로써 구성이 가능하다. 3-이웃 Linear CA일 경우 2<sup>3</sup>개의 가능한 개신 법칙이 존재하게 된다.

## 2.2 ElGamal 암호 알고리즘

ElGamal 암호 알고리즘은 현대 공개키 암호 알고리즘의 2가지 부류 중 하나인 이산대수문제에 기반한 공개키 암호 알고리즘이다.

ElGamal 암호 알고리즘은 다음 절차를 따른다.

전체 : 유한체  $GF(q)^*$ 와 생성원  $g$ 가 알려져 있다.

여기서  $q$ 는 임의의 큰 소수이다.

- (1) 사용자  $A$ 는  $1 < a < q-1$  사이의 정수를 임의로 선택하고 비밀키로 간직한다.
- (2) 사용자  $A$ 는  $g^a \bmod q$ 를 계산하여 이를 암호화 키로 공개한다.
- (3) 사용자  $B$ 가 비밀 메시지  $M$ 을  $A$ 에게 보내고자 한다면,  $B$ 는 임의의 정수  $k$ 를 선택하고,  $g^{ak} \bmod q$ 를 계산한 후, 두 원소를  $A$ 에게 전달한다.

$$(g^k, Mg^{ak})$$

- (4)  $A$ 는 첫 번째 원소  $g^k$ 와 자신의 비밀키  $a$ 를 이용하여  $g^{ak}$ 를 계산하고, 두 번째 원소에 이를 나누어 메시지  $M$ 을 얻는다.

이때  $a$ 를 알지 못하고  $(g^k, Mg^{ak})$ 만으로 메시지  $M$ 을 구하는 것이 어려운 일임을 알 수 있다.

이 시스템을 구현하기 위해 필요한 알고리즘들은 유한체 상의 연산을 수행할 수 있는 알고리즘 즉, 모듈라 멱승 알고리즘, 곱셈 알고리즘, 역원 알고리즘 등이다.

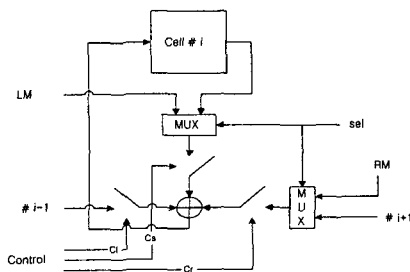
## 3. 제안 알고리즘

본 논문에서 제안하는 알고리즘은  $GF(2^n)$ 상의 원소를 이용하여 ElGamal 알고리즘을 구현하는 것이다. 이를 위해 APGA(Advanced PCA)를 소개하고 이

를 이용한 다항식의 모듈라 곱셈 알고리즘과 멱승 알고리즘, 그리고 역원 알고리즘을 제안하고 이를 구현한다.

### 3.1 APAC(Advanced PCA)

APCA는 PCA의 구조를 모듈라 곱셈 연산을 수행할 수 있도록 개선한 구조이다. (그림 4)가 3-이웃 APAC의 셀 구조를 보여준다.

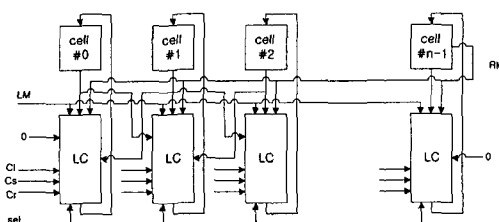


(그림 4) 3-이웃 PCA의 셀구조

여기서, LM은 곱셈, RM은 나눗셈을 위한 다항식이다. 그리고 sel은 멀티플렉서의 선택선이다. 이는 자신의 상태와 LM, 오른쪽 이웃의 상태와 RM를 선택할 수 있도록 한다. 그리고, 제어선 Cl, Cs, Cr은 Xor의 입력을 제어하는 제어선이다. 예를 들어서, Cl=1, Cs=Cr=0로 설정한다면 이 구조는 쉬프트 레지스터와 동일한 역할을 수행할 것이다. 또한 sel=1일 경우 Xor의 자신의 상태와 오른쪽 이웃의 입력으로 LM과 RM을 받아들이게 할 수 있다.

따라서 sel, Cl, Cs, Cr의 값을 적절하게 조절함으로써 APAC의 구조를 쉬프트 레지스터, 곱셈회로, 나눗셈 회로 등으로 활용할 수 있다.

### 3.2 APCA를 이용한 모듈라 곱셈 알고리즘



(그림 5) APCA를 이용한 곱셈 회로

일반적인 모듈라 곱셈 회로는 곱셈과 나눗셈을 동시에 수행하도록 함으로써 구성할 수 있다[11]. 이를 (그림 4)에서 보여진 APAC의 구조를 이용하여 재구성할 수 있다. 즉, sel=1, Cl=1, Cs, Cr은 곱셈과 나눗셈 다항식의 계수로 설정함으로써 APAC를 이용하여 곱셈기를 구현할 수 있고, 이를 이용하여 멱승 연산을 수행할 수 있다. 이를 위한 구성을 (그림 5)

에 나타내었다.

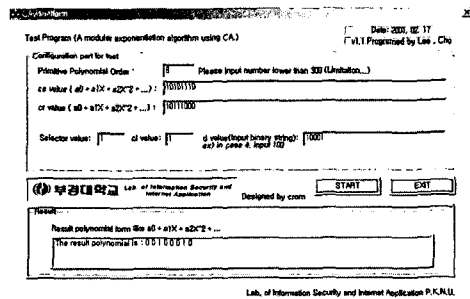
### 3.3 모듈라 멱승 알고리즘

$E(x)^D \bmod P(x)$ 와 같은 다항식의 모듈라 멱승 알고리즘은 3.2절에서 제안한 곱셈회로 2개를 이용하여 곱셈과 제곱을 동시에 수행함으로써 구현할 수 있다. 여기서 D는 임의의  $n$ -tuple 2진 벡터이다. 즉,  $(d_0, d_1, \dots, d_{n-1})$ 와 같다.

알고리즘은 다음 절차를 따라 수행된다.

- (1)  $C = 1, E = E(x)$
- (2) 만약  $d_i = 1$  이면,  $C = C \cdot E \bmod P(x)$
- (3)  $E = E(x)^2 \bmod P(x)$
- (4)  $0 \leq i \leq n-1$  동안 (2)와 (3)을 반복
- (5)  $C = E(x)^D \bmod P(x)$

여기서 연산은 곱셈 회로를 이용하여 (2)를 수행함으로써 얻을 수 있고, (3)의 과정은 또 하나의 곱셈회로를 응용하여 제곱 연산을 수행할 수 있다. 따라서  $n$ 번의 클럭으로 최종 연산의 결과를 얻을 수 있다.



(그림 6) 시뮬레이션 결과 화면

시뮬레이션은 Visual C++를 이용하여 수행하였으며, (그림 6)은  $E(x) = 1 + x^2 + x^4 + x^5 + x^6 = (10101110)$ ,  $D = 17$ ,  $P(x) = 1 + x^2 + x^3 + x^4 + x^8 = (101110001)$ 에 대한 결과 화면을 (그림 6)에 나타내었다.

### 3.4 역원 알고리즘

$g(x)$ 를  $GF(2^n)$ 의 생성다항식이라고 하자. 역원을 구하는 알고리즘은  $g(x)^{-a} = g(x)^{2^n-1-a}$ 임이 명백함으로 이전 절에서 제안된 멱승 알고리즘을 이용하여  $(2^n-1)-a$ 번의 멱승 연산을 수행함으로써 쉽게 구할 수 있다.

### 3.5 ElGamal 알고리즘의 구현

ElGamal 알고리즘의 구조에 있어서 가장 중요한 부분은 모듈라 멱승 부분이다. 이는 제안된 APAC 구조를 이용하여 용이하게 구현될 수 있다. 비밀 메시지를 암호화하여 보내고자 하는 송신측에서는 모듈라 멱승과 곱셈 알고리즘을 이용하여 송신메시지를 구성할 수 있고, 비밀 메시지를 수신하여 복호화

는 수신측에서는 역승 알고리즘을 이용하여 역수를 구하고 이를 곱셈 알고리즘을 적용하여 메시지를 복호 할 수 있다. 알고리즘의 구현은 다음 단계를 통해 이루어진다.

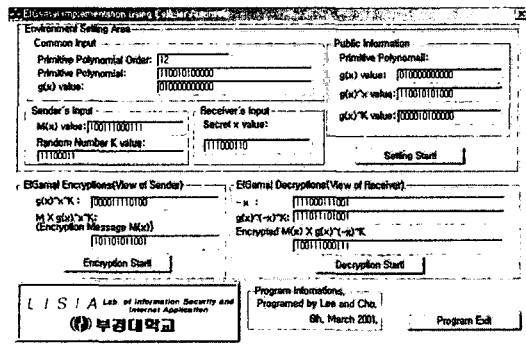
#### • 송신측 알고리즘

- step1 :  $g(x)^k \bmod P(x)$
- step2 :  $(g(x)^a)^k \bmod P(x)$
- step3 :  $M(x) \cdot g(x)^{ak} \bmod P(x)$

#### • 수신측 알고리즘

- step1 :  $g(x)^{-ak} = g(x)^{(2^n-1-a)k} \bmod P(x)$
- step2 :  $M(x) = (M(x)g(x)^{ak}) \cdot (g(x)^{-ak}) \bmod P(x)$

여기에서,  $P(x)$ 는  $n$ 차 원시다항식이고,  $g(x)$ 는  $GF(2^n)^*$ 에서의 생성다항식이다.  $M(x)$ 는 송신측에서 수신측으로 보내고자하는 비밀 메시지에 대응하는  $GF(2^n)^*$ 상의 원소이다.  $a$ 와  $k$  ( $1 \leq a, k \leq 2^n - 2$ )는 수신측과 송신측의 비밀 메시지인 임의의 정수이다.



(그림 7) 시뮬레이션 결과 화면

여기서,  $P(x) = 1 + x + x^4 + x^6 + x^{12}$ ,  $g(x) = x$ 를 사용하였고,  $M(x) = 1 + x^3 + x^4 + x^5 + x^9 + x^{10} + x^{11}$ ,  $k = 227$ ,  $a = 454$ 를 사용하여 시뮬레이션 하였다.

#### 4. 결론 및 향후 연구과제

본 논문에서는 주어진 유한체 상의 임의의 원소에 대한 모듈라 역승 연산을 CA를 이용하여 구현하였다. 제안 방법은 APCA를 이용함으로써 송수와 피승수의 변화에도 매우 효과적으로 적용할 수 있는 장점이 있다.

또한 제안된 구조를 이용하여 이산대수문제를 기반으로 하는 공개키 암호 알고리즘인 ElGamal 암호 알고리즘의 연산을 수행할 수 있는 알고리즘을 제안하였고, 간략한 예에 대하여 Visual C++를 이용하여 구현한 결과를 나타내었다.

향후 연구과제로는 구현된 알고리즘이 실제로 활용 가능한 암호화 강도까지 알고리즘을 수정해야 할

것이고, 또한 알고리즘이 보다 고속으로 수행될 수 있도록 연구할 것이다. 이를 위해서 연산의 회수를 줄일 수 있는 연구와 하드웨어 구현이 뒤따라야 할 것으로 간주된다. 또한 제안된 알고리즘이 소인수 분해 문제를 기반으로 하는 RSA와 같은 공개키 암호 알고리즘에 적용할 수 있는 방안에 대해서도 추후 연구를 진행할 예정이다.

#### 참고문헌

- [1] S. Wolfram, "Cellular Automata and Complexity", Addison-Wesley Publishing Company, 1994.
- [2] A. K. Das, P. P. Chaudhuri, "Efficient characterization of cellular automata", IEE Proceeding E, Vol.137, Iss.1, 1990.1, pp.81-87.
- [3] A. K. Das and P. P. Chaudhuri, "Vector space Theoretic Analysis of Additive Cellular Automata and Its Application for Pseudoexhaustive Test Pattern Generation", IEEE Transaction on Computers, Vol.42, Iss.3, 1993.5, pp.340-352.
- [4] P. P. Chaudhuri, et.al., "Additive Cellular Automata Theory and Applications", volume 1, IEEE Computer Society Press, California, USA, 1997.
- [5] K. Cattell, M. Serra, "The Analysis of One Dimensional Multiple-Value Linear Cellular Automata", IEEE Transaction on Computer-Aided Design of Integrated Circuits and Systems, Vol.9, Iss.7, pp.767-778.
- [6] K. Cattell, J. Muzio, "Analysis of One-Dimensional Linear Hybrid Cellular Automata over  $GF(q)$ ", IEEE Transactions on Computers, Vol.45, No.7, 1996.7, pp.782-792.
- [7] K. Cattell, J. Muzio, "Synthesis of One-Dimensional Linear Hybrid Cellular Automata", IEEE Transactions on Computer-Aided Design of Integrated Circuit and Systems, Vol.15, No.3, 1996.3, pp.325-335.
- [8] M. Mihaljevic, Y. Zheng, H. Imai, "A Fast and Secure Stream Cipher based on Cellular Automata over  $GF(q)$ ", IEEE Global Telecommunications Conference, GLOBECOM '98, Vol.6, 1998, pp.3250-3255.
- [9] M. Mihaljevic, H. Imai, "A Family of Fast Keystream Generations based on Programmable Linear Cellular Automata over  $GF(q)$  and Time-Variant Table", IEICE Transactions on Fundamentals, Vol.E82-A, No.1, 1999.1, pp.32-39.
- [10] A. Menezes, P. van Oorschot, and S. Vanstone, "Handbook of Applied Cryptography", CRC Press, 1996.
- [11] S. Lin, D. J. Costello, Jr., "Error Control Coding: Fundamentals and Applications", Prentice-Hall, Inc. Englewood Cliffs, New Jersey, 1983.